

Р. Е. ГЕРЗЕН

КОНСТРУКТИВНО ПОЛУБЕЗМОМЕНТНЫЕ ПЛАСТИНЫ И ОБОЛОЧКИ. ЗАДАЧА ИЗГИБА ПЛАСТИН

1. В теории оболочек понятие о полубезмоментном напряженном состоянии связывается с медленным изменением основного напряженно-го состояния и быстрым затуханием состояния типа краевого эффекта [1]. Поскольку краевой эффект характерен только для оболочек, невозможен и предельный переход от известных соотношений для полубезмоментных оболочек к соответствующим соотношениям для пластин. Из этого, однако, не следует невозможность существования полубезмоментных напряженных состояний оболочек и пластин, связанных с какими-либо иными эффектами. В последнем нетрудно убедиться из следующего опыта. Нагрузим прямоугольную пластинку равномерно распределенной растягивающей силой в направлении одной из координатных осей и изгибающими моментами, продольным и поперечным. Предположим, что материал пластины обладает пределом текучести и последний достигнут под действием только растягивающей силы. Тогда в каждом сечении, перпендикулярном направлению силы, образуются пластические шарниры, и при последующем приложении изгибающих моментов пластина будет работать как полубезмоментная.

Можно сделать и следующий шаг, сконструировав близкую к полу-безмоментной упругую пластину в виде набора продольных балок или полос, соединенных в срединной плоскости продольными шарнирами. Сравнение прогибов прямоугольной шарнирно опертой пластины с од-ним, двумя и т. д. продольными шарнирами под действием равномерной поперечной нагрузки показывает существенное понижение жесткости при постановке двух первых шарниров; значение прогиба асимптотиче-ски приближается к некоторому пределу, практически неизменяющему-ся при числе шарниров, большем трех. Этот результат наводит на мысль о возможности «распределения» ослабления, вызванного постановкой достаточно большого количества шарниров, подобно тому, как распределяют жесткость при расчете подкрепленных пластин и оболочек. Отсюда следует также, что требование малости отношения ширины к длине сопрягаемых элементов, при котором имеет место полубезмоментное состояние, не является чрезмерно жестким. Это предопределяет и рас-пространенность полубезмоментного напряженного состояния в ряде специальных конструкций. Укажем, прежде всего, на широко примени-мые в качестве капитальных и временных сооружений пластины и оболочки в виде набора балок, соединенных между собой посредством спе-циальных замков в шпунт; различного типа настилы и покрытия с ана-

логичным соединением элементов и т. п. Для анализа работы таких конструкций были получены [3] соотношения для полубезмоментных пластин и оболочек как систем с распределенными шарнирами.

Класс конструктивно полубезмоментных систем удается при определенных ограничениях расширить за счет включения сильно ортотропных систем. Можно, например, показать, что напряженное состояние пластины с малым отношением поперечной и продольной изгибных жесткостей при слабой изменяемости напряженного состояния в поперечном направлении близко к полубезмоментному. В рассмотренных случаях полубезмоментность связана с конструктивными особенностями систем, которые по этой причине предлагаются называть конструктивно-полубезмоментными.

В данной работе рассматриваются задачи изгиба конструктивно полубезмоментных пластин. Необходимые исходные соотношения [3] получены из соотношений изгиба жестких ортотропных пластин путем их разложения в ряд по малому параметру, характеризующему отношение главных изгибных жесткостей. Идея введения малого параметра такого рода предложена в работе [5], где исследовалась напряженные состояния подкрепленных оболочек.

В настоящей работе обращено внимание на самостоятельное значение полубезмоментных соотношений не столько в связи с математическими упрощениями, делающими их применение целесообразными, сколько на необходимость их использования в тех случаях, когда полубезмоментная система является более подходящей механической моделью реальной конструкции, чем обычная пластина и оболочка [2, 3].

2. Обычное уравнение изгиба жестких ортотропных пластин представим в виде

$$\omega_{xxxx} + \alpha \omega_{xxyy} + \gamma \omega_{yyyy} = q^*(x, y) \quad (1)$$

где

$$\alpha = 2D_3/D_1, \quad \gamma = D_2/D_1, \quad q^* = q/D_1$$

$$D_1 = E_1 h^3 [12(1 - \mu_1 \mu_2)]^{-1}, \quad D_2 = E_2 h^3 [12(1 - \mu_1 \mu_2)]^{-1}$$

$$D_3 = D_1 \mu_2 + 2D_k = D_2 \mu_1 + 2D_k, \quad D_k = Gh^3 / 12$$

Рассмотрим случай сильной ортотропии, в частности при $E_1 \gg E_2$. Тогда $\gamma = E_2/E_1$ — малый параметр. Из соотношения $E_1 \mu_2 = E_2 \mu_1$ следует $\mu_2/\mu_1 = \gamma$. Решения уравнения (1) представим в виде разложения в ряд по малому параметру

$$\omega = \omega_0 + \sum_{l=1}^{\infty} \gamma^l \omega_l \quad (2)$$

Подставив (2) в (1), сгруппируем коэффициенты при одинаковых степенях γ . Приравняв последние нулю, получим

$$Lw_0 = q^*, \quad Lw_i = Mw_{i-1}, \quad (i=1, 2, 3\dots) \quad (3)$$

$$L = \frac{\partial^4}{\partial x^4} + 2\beta \frac{\partial^4}{\partial x^2 \partial y^2}, \quad M = -\left(\frac{\partial^4}{\partial y^4} + 2\mu_1 \frac{\partial^4}{\partial x^2 \partial y^2} \right), \quad \beta = \frac{2D_3}{D_1}$$

Введение ряда (2) в выражение для внутренних усилий дает

$$\begin{aligned} M_1 &= -D_1 \left[w_{0,xx} + \sum_{i=1}^{\infty} v^i (w_{i,xx} + \mu_1 w_{i-1,yy}) \right] \\ M_2 &= -D_1 \sum_{i=0}^{\infty} v^{i+1} (w_{i,yy} + \mu_1 w_{i,xx}) \\ H &= -2D_k \sum_{n=0}^{\infty} v^n w_{i,yx} \\ Q_1 &= -D_1 \left[w_{0,xxx} + \beta w_{0,xyy} + \sum_{i=1}^{\infty} v^i (w_{i,xxx} + \mu_1 w_{i-1,yyy} + \beta w_{i,xyy}) \right] \\ Q_2 &= -D_1 \left[\beta w_{0,xyy} + \sum_{i=1}^{\infty} (w_{i-1,yyy} + \mu_1 w_{i-1,xyy} + \beta w_{i,xyy}) \right] \end{aligned} \quad (4)$$

Составим теперь систему граничных условий. Для общности примем несимметричные условия упруго-податливого закрепления всех краев пластиинки, а именно:

$$\begin{array}{lll} \text{при } x=0 & Q_1^* = -c_1^* w, & M_1 = c_2^* w_{,x} \\ \cdot & Q_1^* = c_3^* w, & M_1 = -c_4^* w_{,x} \\ y=0 & Q_2^* = -c_5^* w, & M_2 = c_6^* w_{,y} \\ y=b & Q_2^* = c_7^* w, & M_2 = -c_8^* w_{,y} \end{array} \quad (5)$$

Здесь c_k^* ($k=1, 2, \dots, 8$) — коэффициенты жесткости упругого закрепления; $Q_1^* = Q_1 + H_{,y}$, $Q_2^* = Q_2 + H_{,x}$ — приведенные поперечные силы, объединяющие Q_1 , Q_2 соответственно и дополнительные поперечные силы $H_{,y}$ и $H_{,x}$, эквивалентные действию крутящих моментов.

Вводя (4) в (5) и приравнивая в полученных выражениях коэффициенты при v в одинаковых степенях, получим следующую систему граничных условий:
при $x=0$

$$\begin{aligned} (Nw_0)_{,x} - c_1 w_0 &= 0, & w_{0,xx} + c_2 w_{0,x} &= 0 \\ (Nw_i)_{,x} - c_1 w_i &= -\mu_1 w_{i-1,xyy} & -w_{i,xx} - c_2 w_{i,x} &= \mu_1 w_{i-1,yyy} \\ N &= \frac{\partial^2}{\partial x^2} + 2\beta \frac{\partial^2}{\partial y^2} \end{aligned} \quad (6)$$

при $x=a$

$$\begin{aligned} (\mathcal{N}w_0)_{,x} + c_4 w_0 = 0, & \quad w_{0,xx} - c_4 w_{0,x} = 0 \\ (\mathcal{N}w_i)_{,x} + c_4 w_i = -\mu_1 w_{i-1,xyy}, & \quad w_{i,xx} - c_4 w_{i,x} = -\mu_1 w_{i-1,yy} \end{aligned} \quad (7)$$

при $y=0$

$$\begin{aligned} 2\beta w_{0,xyy} - c_5 w_0 = 0, & \quad c_6 w_{0,y} = 0 \\ 2\beta w_{i,xyy} - c_5 w_i = -(Sw_{i-1})_{,v}, & \quad c_6 w_{i,y} = -Sw_{i-1} \\ S = \frac{\partial^2}{\partial y^2} + \mu_1 \frac{\partial^2}{\partial x^2} \end{aligned} \quad (8)$$

при $y=b$

$$\begin{aligned} 2\beta w_{0,xyy} + c_7 w_0 = 0, & \quad c_8 w_{0,y} = 0 \\ 2\beta w_{i,xyy} + c_7 w_i = -(Sw_{i-1})_{,y}, & \quad c_8 w_{i,y} = Sw_{i-1} \end{aligned} \quad (9)$$

В соотношениях (6)–(9) $c_k = c_k^*/D_1$ ($k = 1, 2, \dots, 8$), $i = 1, 2, 3, \dots$. Последовательное рассмотрение уравнений (3) при условиях (6)–(9) принципиально позволяет получить результаты с заданной точностью. Однако практически можно рассчитывать лишь на получение двух первых приближений, так что принятая форма решения (2) целесообразна при $E_2/E_1 \rightarrow 0$. В последнем случае уравнение изгиба пластины совпадает с полученным ранее [2] уравнением для пластин, с часто расположеными продольными шарнирами и имеет вид

$$Lw_0 = q^* \quad (10)$$

Далее будем рассматривать этот предельный случай как представивший самостоятельный интерес. Выражения для внутренних усилий и граничных условий получим из (4), (6)–(9), удерживая нулевые приложения ($i=0$).

Внутренние усилия равны

$$\begin{aligned} M_1 = -D_1 w_{0,xx}, & \quad M_2 \equiv 0, \quad H = -2D_1 w_{0,xy} \\ Q_1 = -D_1 (w_{0,xxx} + \beta w_{0,xyy}), & \quad Q_2 = -2D_1 w_{0,xyy} \end{aligned} \quad (11)$$

Как видно, $M_2 = 0$. Поэтому рассматриваемые пластины при $v=0$ можно называть полубезмоментными. Уравнения равновесия

$$Q_{1,x} + Q_{2,y} = -q, \quad M_{1,x} + H_y = Q_1, \quad H_x = Q_2$$

в частности, третью отражает основную особенность их работы: взаимодействие продольных элементов осуществляется путем передачи усилий Q_2 , которые уравновешиваются за счет кручения элементов. Границные условия

$$\text{при } x=0 \quad (Nw_0)_{,x} - c_1 w_0 = 0, \quad w_{0,xx} + c_2 w_{0,x} = 0 \quad (12)$$

$$x=a \quad (Nw_0)_{,x} + c_3 w_0 = 0, \quad w_{0,xx} - c_4 w_{0,x} = 0$$

$$y=0 \quad 2\beta w_{0,xy} - c_5 w_0 = 0 \quad (13)$$

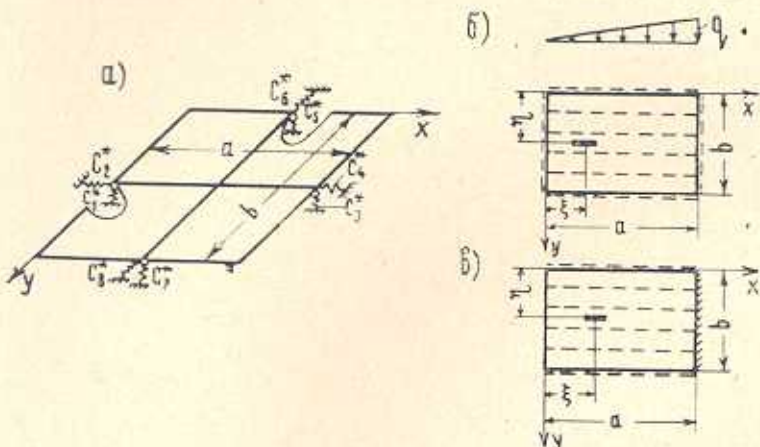
$$y=b \quad 2\beta w_{0,xy} + c_6 w_0 = 0$$

Следовательно, необходимо удовлетворить шести граничным условиям, а не восьми, как для обычной пластины. Последнее связано с равенством нулю M_2 всюду, в том числе и на краях $y=0, b$, следствием чего и явилось понижение порядка производных оператора L по координате y .

3. Рассмотрим решение задачи изгиба. Заметим, что соответствующее (10) однородное уравнение

$$\gamma^2 w_{,xxxx} + w_{,xxyy} = 0, \quad \gamma^2 = 0.25D_1/D_k \quad (14)$$

допускает разделение переменных по методу Фурье. Благодаря этому удается построить функцию влияния, удовлетворяющую произвольным однородным граничным условиям (12), (13), а следовательно, в общем виде решить задачу изгиба при произвольной поперечной нагрузке.



Фиг. 1.

Рассмотрим прямоугольную пластину, полубезмоментную в направлении y , при действии полосовой нагрузки q только вдоль x (фиг. 1а). Штрих-пунктирные линии на рисунке условно показывают либо направление продольных шарниров, связывающих отдельные полосы в пластинчатую систему, либо направление сильно развитых ребер жесткости, так что $D_1 > D_2$.

При заданной нагрузке прогиб должен удовлетворять уравнению (14) и условиям (12), (13). Решение (14) запишем в виде

$$w = X(x) Y(y) \quad (15)$$

Вводя (15) в (14) и разделяя переменные, получим

$$X'' + k^2 X = 0 \quad (16)$$

$$Y - \gamma^2 Y = 0 \quad (17)$$

Здесь штрихами обозначены производные по x , точками — по y ; $k = \text{const}$ — собственные значения уравнения (16).

Заметим, что (16) имеет вид уравнения устойчивости стержней. Следовательно, собственные функции (16), представляющие собой в данном случае формы продольного прогиба, совпадают с формами потери устойчивости балок.

Решение уравнения (16)

$$X(x) = X(0) + xX'(0) + \frac{1 - \cos kx}{k^2} X''(0) + \frac{kx - \sin kx}{k^3} X'''(0) \quad (18)$$

Вычислив производные $X(x)$ до третьего порядка включительно и объединив их с (18), получим матричное уравнение

$$\vec{X}(x) = [f_i^t(x)] \vec{X}(0) \quad (19)$$

Здесь $\vec{X} = \{X, X', X'', X'''\}$ — вектор с составляющими, равными $X(x)$ и трем ее производным; $\vec{X}(0) = \{X(0), X'(0), X''(0), X'''(0)\}$ — вектор начальных параметров;

$$[f_i^t(x)] = \begin{bmatrix} 1 & x & \frac{1 - \cos kx}{k^2} & \frac{kx - \sin kx}{k^3} \\ 0 & 1 & \frac{\sin kx}{k} & \frac{1 - \cos kx}{k^2} \\ 0 & 0 & \cos kx & \frac{\sin kx}{k} \\ 0 & 0 & -k \sin kx & \cos kx \end{bmatrix}$$

Подставив (15) в условие (12) и разделяя переменные, получим условия для функции $X(x)$:

$$\begin{aligned} \text{при } x=0 \quad X'''(0) - c_1 X(0) + k^2 X'(0) = 0, \quad X''(0) + c_2 X'(0) = 0 \\ x=a \quad X'''(a) + c_3 X(a) + k^2 X'(0) = 0, \quad X''(a) - c_4 X'(a) = 0 \end{aligned} \quad (20)$$

Подчиняя решение (19) условиям (20), в результате ряда преобразований составим уравнение для нахождения собственных значений

$$|\alpha_{kn}| = 0, \quad (k, n = 1, 2) \quad (21)$$

где

$$\alpha_{11} = c_1 + c_3 + c_1 c_3 \frac{ka - \sin ka}{k^3}$$

$$\alpha_{12} = ac_3 - c_2 c_3 \frac{1 - \cos ka}{k^2} - c_3 \frac{ka - \sin ka}{k}$$

$$a_{11} = c_1 \frac{1 - \cos ka}{k^2} - \frac{c_1}{c_4} \frac{\sin ka}{k}$$

$$a_{21} = \cos ka + \frac{c_1}{c_4} \cos ka - c_2 \frac{\sin ka}{k} + \frac{k \sin ka}{c_4}$$

С учетом (20) решение (18) получает вид

$$X = \sum_{m=1}^{\infty} D_m X_m \quad (22)$$

Здесь

$$X_m = 1 + (c_1 + d_m k_m^2) k_m^{-2} (k_m x - \sin k_m x) - d_m [x - k_m^{-2} c_2 (1 - \cos k_m x)],$$

$$d_m = a_{11} a_{12}^{-1}, \quad D_m \text{ — произвольная постоянная.}$$

Далее определяем функцию $\mathcal{Y}(y)$ из уравнения (17); введя ее и (22) в (15), запишем

$$w = \sum_{m=1}^{\infty} X_m (A_m e^{\gamma_m y} + B_m e^{-\gamma_m y}), \quad \gamma_m = \gamma k_m \quad (23)$$

При действии на длине a вдоль x нагрузки q с координатами центра ξ, η упругая поверхность описывается двумя выражениями вида (23)

$$w_i = \sum_{m=1}^{\infty} X_m (A_{mi} e^{\gamma_m y_i} + B_{mi} e^{-\gamma_m y_i}), \quad (i = 1, 2) \quad (24)$$

$$0 \leq y_1 \leq \tau_1, \quad \tau_1 \leq y_2 \leq b$$

Для определения четырех произвольных постоянных имеем два неиспользованных условия (13) и два условия сопряжения:

$$\text{при } y = \tau_1 \quad w_1 = w_2, \quad Q_{21}^* - Q_{22}^* = q(x) \quad (25)$$

Согласно второму условию (25) разность между величинами приведенных поперечных сил Q_2^* на первом и втором участках при $y = \eta$ равна заданной полосовой нагрузке.

Подстановка (24) в первое условие (13) дает

$$\sum_{m=1}^{\infty} F_m(x) \gamma_m (A_{m1} - B_{m1}) - c_2 \sum_{m=1}^{\infty} X_m(x) (A_{m1} + B_{m1}) = 0 \quad (26)$$

где

$$F_m(x) = (c_1 + k_m^2 d_m) k_m^{-1} \sin k_m x + d_m c_2 \cos k_m x$$

Далее функции $F_m(x)$ и $X_m(x)$ раскладываются в ряд Фурье по $\sin i\pi x/a$ ($i = 1, 2, 3, \dots$). После преобразований (26) приводится к бесконечной системе алгебраических уравнений

$$[a_{im}] \vec{A}_{m1} - [b_{im}] \vec{B}_{m1} = 0 \quad (27)$$

где

$$a_{im} = \gamma \alpha_1(i, m) - c_2 \alpha_2(i, m), \quad b_{im} = \gamma \alpha_1(i, m) + c_2 \alpha_2(i, m)$$

$$\alpha_1(i, m) = -\frac{k_m d_m c_2 [1 - (-1)^i \cos k_m a]}{a \left[k_m^2 - \left(\frac{i\pi}{a} \right)^2 \right]} + \frac{(-1)^i (c_1 + d_m k_m^2) \sin k_m a}{a \left[k_m^2 - \left(\frac{i\pi}{a} \right)^2 \right]}$$

$$\begin{aligned} \alpha_2(i, m) = & \frac{a}{(i\pi)^2} [(1 - (-1)^i) f_1 - (-1)^i f_2 a] + \\ & + \frac{(-1)^i f_4 \cos k_m a - f_4 + (-1)^i f_3 \sin k_m a}{a \left[k_m^2 - \left(\frac{i\pi}{a} \right)^2 \right]} \end{aligned}$$

$$f_1 = 1 + d_m c_2 k_m^{-2}, \quad f_2 = c_1 k_m^{-2} + 2d_m, \quad f_3 = -\frac{c_1 + k_m^2 d_m}{k_m^3}, \quad f_4 = d_m c_2 k_m^{-2}$$

$$\vec{A}_{m1} = [A_{11}, A_{21}, A_{31}, \dots], \quad \vec{B}_{m1} = [B_{11}, B_{21}, B_{31}, \dots]$$

Удовлетворяя второму условию (13), получаем

$$[c_{im}] \vec{A}_{m2} - [d_{im}] \vec{B}_{m2} = 0 \quad (28)$$

где

$$c_{im} = [\gamma \alpha_1(i, m) + c_2 \alpha_2(i, m)] e^{ik_m b}$$

$$d_{im} = [\gamma \alpha_1(i, m) - c_2 \alpha_2(i, m)] e^{-ik_m b}$$

После подстановки (24) в первое условие (25) имеем

$$(A_{m1} - A_{m2}) e^{2ik_m \gamma} + B_{m1} - B_{m2} = 0 \quad (29)$$

Наконец, используем второе условие (25), которое запишем с учетом (11)

$$4D_K(w_{1,xx} - w_{2,xx}) = q(x)$$

Вводя сюда (24) и раскладывая в ряд

$$q(x) = 4q_0 \pi^{-1} \sum_{l=1}^{\infty} i^{-1} \sin l\pi x/a \sin \frac{l\pi u}{2a} \sin \frac{l\pi x}{a}$$

после преобразований получаем

$$[f_{im}] \Delta \vec{A}_m = \vec{q} \quad (30)$$

$$\Delta \vec{A}_m = [A_{11} - A_{12}, A_{21} - A_{22}, A_{31} - A_{32}, \dots]$$

$$\vec{q} = \{q_1, q_2, q_3, \dots\}, \quad q_i = \frac{q_0}{\pi} \frac{1}{i} \sin \frac{i\pi\xi}{a} \sin \frac{i\pi u}{2a}$$

$$f_{im} = 4D_K \frac{i\pi}{a} \alpha_i(i, m) e^{ik_m \gamma}$$

Таким образом, решение задачи для случая полосовой нагрузки имеет вид рядов (24), коэффициенты которых определяются из системы уравнений (27) — (30). В случае сосредоточенной силы решение сохраняет свой вид при замене выражения для q_i на следующее:

$$q_i = \frac{P}{2a} \sin \frac{i\pi\xi}{a}, \quad P = qu$$

Приведенное решение весьма громоздко, но легко программируется для расчетов на ЭВМ. При этом удается единым алгоритмом охватить многие частные задачи, что стало доступным благодаря разделению переменных в уравнении (14).

4. Для сравнительного анализа работы полубезмоментных пластин рассмотрим две частные задачи.

В случае шарнирного опирания граничные условия

$$w(0, y) = w(a, y) = w''(0, y) = w''(a, y) = 0$$

$$w(x, 0) = w(x, b) = 0$$

Полосовой нагрузке (фиг. 1б) соответствует решение (24), в котором

$$X_m = \sin k_m x, \quad k_m = m\pi/a \quad (m = 1, 2, 3, \dots)$$

Выражения типа (24) для прогибов

$$w_1 = \sum_{m=1}^{\infty} B_{m1} (e^{-x_m y_1} - e^{x_m y_1}) \sin k_m x$$

$$w_2 = \sum_{m=1}^{\infty} B_{m1} \varphi(k_m, \eta) (e^{-x_m y_2} - e^{x_m(y_2-2b)}) \sin k_m x \quad (31)$$

Здесь

$$B_{m1} = \frac{q \sin k_m \xi \sin \frac{k_m u}{2}}{2D_K m \pi \beta(k_m, \eta)}, \quad \varphi(k_m, \eta) = \frac{1 - e^{-2x_m \eta}}{e^{-2x_m b} - e^{-2x_m \eta}}$$

$$\beta(k_m, \eta) = k_m^3 \gamma (1 - e^{2x_m b}) e^{-x_m \eta} (e^{-2x_m b} - e^{-2x_m \eta})^{-1}$$

$$0 \leq y_1 \leq \eta, \quad \eta \leq y_2 \leq b$$

Введем в B_{m1} замены $u = d\xi$, $q = q(\xi, \eta) d\eta$ (вместо нагрузки q , распределенной на единичной ширине, введена нагрузка на ширине $d\eta$) и перейдем к пределу. Тогда получим функции влияния как прогиб от нагрузки $q(\xi, \eta) d\xi d\eta$ вида (31) с коэффициентом

$$B_{m1} = [4D_K a \beta(k_m, \gamma_1)]^{-1} q(\xi, \gamma) \sin k_m \xi d\xi d\gamma$$

Интегрированием в пределах размещения нагружки можно получить решение при произвольном ее распределении.

При постоянной вдоль y треугольной нагрузке $q(\xi, \eta) = q \xi / a$ получаем

$$\begin{aligned} w = & \frac{qa^4}{2D_K \pi^5 \gamma^2} \sum_{m=1}^{\infty} \frac{[1 + (-1)^{m-1}]}{m^5 (1 - e^{-2\alpha_m b})} [\operatorname{sh} \alpha_m y (e^{-\alpha_m y} - 2e^{-\alpha_m b} + e^{\alpha_m (y-2b)}) + \\ & + (\operatorname{ch} \alpha_m y - 1)(e^{-\alpha_m y} - e^{\alpha_m (y-2b)})] \sin k_m x \end{aligned} \quad (32)$$

Прогиб в центре квадратной пластинки $x = y = a/2$ с изотропным материалом полос $[2D_K = EI(1 - \mu)^{-1}$ и $\mu = 0.3]$ при использовании лишь двух членов ряда (32) ($m = 1, 3$) равен

$$w = (EI)^{-1} qa^4 (0.003140 - 0.000026 + \dots) = (EI)^{-1} 0.00311 qa^4 \quad (33)$$

Соответствующие формулы для обычной пластины и балки имеют вид [4]

$$w = 0.00203 qa^4 D^{-1}, \quad w = 0.00651 qa^4 (EI)^{-1} \quad (34)$$

Из сравнения (33) и (34) видны эффекты понижения жесткости полубезмоментной пластины по сравнению с обычной и существенного увеличения жесткости при объединении отдельных полос в пластинчатую систему по полубезмоментной схеме. Последний ослабляется при увеличении b/a и, как показывают расчеты, при $b/a \approx 2.5 \div 3$ (для обычной пластины $b/a \approx 4.0$) результаты для отдельной полосы и полубезмоментной пластины практически совпадают.

Для пластины с одним защемленным, свободным противоположным и свободно опорными двумя другими краями (фиг. 1в) граничные условия имеют вид

$$w_{,xx}(0, y) = w(a, y) = w_{,x}(a, y) = 0$$

$$D_1 w_{,xx}(0, y) + 4D_k w_{,xyy}(0, y) = 0, \quad w(x, 0) = w(x, b)$$

Прогиб определяется выражениями

$$\begin{aligned} w_1 &= \sum_{m=1}^{\infty} F_{m2} s(\alpha_m, \gamma_1) \operatorname{sh} \alpha_m y_1 \left(1 - \frac{\sin k_m x}{\sin k_m a} \right) \\ w_2 &= \sum_{m=1}^{\infty} F_{m2} (\operatorname{sh} \alpha_m y_2 - \operatorname{th} \alpha_m b \operatorname{ch} \alpha_m y_2) \left(1 - \frac{\sin k_m x}{\sin k_m a} \right) \\ F_{m2} &= \frac{q \sin k_m \xi \sin \frac{k_m a}{2} \sin k_m a}{m \pi D_k k_m^2 \alpha_m [s(\alpha_m, \gamma_1) \operatorname{ch} \alpha_m \gamma_1 - t(\alpha_m, \gamma_1)]} \end{aligned}$$

$$s(x_m, \tau_i) = 1 - \cosh x_m \tau_i \tanh x_m b$$

$$t(x_m, \tau_i) = \cosh x_m \tau_i - \tanh x_m b \sinh x_m \tau_i$$

$$x_m = \gamma k_m, \quad k_m = \frac{m\pi}{2a}, \quad 0 \leq y_1 \leq \tau_i, \quad \tau_i \leq y_2 \leq b$$

В частности, для нагрузки $q(\xi, \tau_i) = q\xi/a$ определим

$$w = \frac{16qa^4}{\gamma^2 \pi^6 D_k} \sum_{m=1}^{\infty} \frac{\sin m\pi/2}{m^6} \left(\sinh x_m y \tanh \frac{x_m b}{2} - 2 \sinh^2 \frac{x_m y}{2} \right) \left(\sin k_m a - \sin k_m x \right)$$

Прогиб, например, середины свободного края, определенный по последней формуле, составляет $0.0116qa^4/(EI)^{-1}$.

В заключение отметим, что полубезмоментная пластина представляет собой подходящую механическую модель комбинированных систем из нежестко соединенных полос или балок, а также пластин с сильной ортотропией. Соотношения для полубезмоментных пластин допускают их точное решение при произвольных нагрузках и произвольных однородных граничных условиях. Эти соотношения легко обобщаются на случай оболочек [2] для расчета подпорных стенок волнового очертания, бульверков и других оболочечных конструкций в виде набора отдельных полос, соединенных в шпунт.

Казанский инженерно-строительный
институт

Поступила 16 XII 1971

п. б. 263966

ԿՈՆՍԵՐՎԻԿՏԻՎ ԿԲՈԱԿԱՄՈՒՏԵՍ ՍԱԼԵՐ ԽՎ. ԹԱՂԱՆՔՆԵՐ:
ՍԱԼԵՐԻ ՇԻՒԹԱՆ ԽԵԴԻՐԸ

Ամփափում

Միջին մակերեսութիւնը վրա հողակապերով միացված բարվական մեծ թվով շերտերի, հեծանների կամ օղակների հավաքված տեսարով կոմբինացված սխալների հաշվաման համար առաջարկվել է կոնստրուկտիվ կիսաանմոմենտ սալերի և թաղանթների մեխանիկական մոդել: Լուծվել է կոնստրուկտիվ կիսաանմոմենտ սալի ձեկվածքների աղղեցոթյուն ֆունկցիայի մասին խնդիրը կամայական, համասնո եզրային պայմանների դեպքում: Երկու մասնակի իրազիրներում և թվային հաշվումներում ցույց է տրված կոշտություն կապես մեծացման լինելու, եթե առանձին շերտերը միացված են սալային սիստեմով կիսաանմոմենտ սինմայով:

CONSTRUCTIONALLY SEMIMOMENTLESS PLATES AND SHELLS. THE PROBLEM IN PLATE BENDING

R. E. HEIZEN

S u m m a r y

A mechanical-model of constructionally semimomentless plates and shells is suggested for calculating combined systems having a number of strips, beams or rings connected at the median surface. The problem in bending effect for a constructionally semimomentless plate under arbitrary uniform boundary conditions is solved. The effect of essential increase in rigidity due to connection of separate strips into a plate system according to the semimomentless scheme is shown in two particular calculations.

Л И Т Е Р А Т У Р А

1. Гольденвейзер А. Л. Теория тонких упругих оболочек. ГИТГЛ, М., 1953.
2. Гейзен Р. Е., Тимофеева Л. М. О пространственном расчете шпунтовых стенок. Основания, фундаменты и механика грунтов, № 4, 1972.
3. Гейзен Р. Е., Тимофеева Л. М. Расчет шпунтовых конструкций как пластин и оболочек с продольными шарнирами. Тр. III Всесоюзной конференции по статике и динамике пространственных конструкций. Киев, «Будівельник», 1972.
4. Тимошенко С. П., Войновский-Кригер С. Пластинки и оболочки. «Наука», М., 1966.
5. Маневич Л. И., Павленко А. В. Асимптотический анализ уравнений теории эксцентрично подкрепленных цилиндрических оболочек. Сб. Теория пластин и оболочек. «Наука», М., 1971.